

§20. Конформная геометрия вещественных коник

20.1. Комплексная проективизация вещественной плоскости. Всюду в этом параграфе мы рассматриваем координатную плоскость $V = \mathbb{R}^2$ со стандартными координатами (x_1, x_2) как множество вещественных точек комплексной координатной плоскости $V_{\mathbb{C}} = \mathbb{C}^2$, вложенной в качестве стандартной аффинной карты $U_0 = e_0 + V_{\mathbb{C}}$ в проективную плоскость $\mathbb{P}_2 = \mathbb{P}(\mathbb{C}^3)$ с однородными координатами $(x_0 : x_1 : x_2)$. Бесконечно удалённую прямую $x_0 = 0$ карты U_0 мы называем *бесконечностью* и обозначаем $\ell_{\infty} = \mathbb{P}(V_{\mathbb{C}})$. Точками этой прямой являются ненулевые векторы пространства $V_{\mathbb{C}}$, рассматриваемые с точностью до умножения на ненулевые комплексные константы. Мы будем называть их *комплексными направлениями* в карте U_0 , поскольку выпущенная из произвольной точки $p \in U_0$ вдоль вектора $v \in V_{\mathbb{C}}$ комплексная аффинная прямая $\{p + tv \mid t \in \mathbb{C}\}$ представляет собою видимую в карте U_0 часть проективной прямой $(pv) \subset \mathbb{P}_2$, соединяющей точку p с бесконечно удалённой точкой $v \in \ell_{\infty} = \mathbb{P}(V_{\mathbb{C}}) \subset \mathbb{P}_2$.

На комплексной проективной плоскости \mathbb{P}_2 имеется комплексно полулинейная¹ инволюция *комплексного сопряжения* $\sigma : (x_0 : x_1 : x_2) \leftrightarrow (\bar{x}_0 : \bar{x}_1 : \bar{x}_2)$. Она переводит прямые в прямые, а коники — в коники и сохраняет стандартную аффинную карту $U_0 \subset \mathbb{P}_2$, действуя на ней комплексно полуаффинным² вещественно аффинным преобразованием. Точки, прямые и коники, переводящиеся комплексным сопряжением в себя, называются *вещественными*. Например, бесконечно удалённая прямая $x_0 = 0$ и коника $x_0^2 + x_1^2 + x_2^2 = 0$ вещественны. Обратите внимание, что у вещественной фигуры может не быть ни одной вещественной точки.

Поскольку линейное уравнение, задающее прямую, и квадратичное уравнение, задающее гладкую конику, однозначно с точностью до умножения на ненулевое комплексное число определяются этими геометрическими фигурами, вещественность прямой или коники означает, что каждый коэффициент a её уравнения удовлетворяют соотношению $\bar{a} = \lambda a$ с одним и тем же для всех коэффициентов a ненулевым множителем $\lambda \in \mathbb{C}$. Так как $|\bar{a}| = |a|$, мы заключаем, что $|\lambda| = 1$. Полагая $\lambda = \vartheta^2$, видим, что $\bar{a} = \vartheta^{-1} a = \vartheta a \in \mathbb{R}$. Таким образом, вещественность прямой или коники на \mathbb{P}_2 равносильна тому, что в стандартных координатах $(x_0 : x_1 : x_2)$ эти фигуры можно задать уравнениями с вещественными коэффициентами.

20.1.1. Конформная структура. Евклидово скалярное произведение на $V = \mathbb{R}^2$, рассматриваемое с точностью до умножения на положительную вещественную константу, называется *конформной структурой* на вещественной плоскости V . Всюду далее мы предполагаем, что конформная структура такова, что стандартный базис в \mathbb{R}^2 является для неё ортонормальным с точностью до гомотетии. Конформная структура не позволяет сказать, что такое длина вектора, но даёт возможность определить угол $\vartheta = \angle(u, w)$ между вещественными прямыми с направляющими векторами $u, w \in V$ по формулам

$$\cos \vartheta = \frac{e^{i\vartheta} + e^{-i\vartheta}}{2} = \frac{(u, w)}{\sqrt{(u, u)(w, w)}}, \quad \sin \vartheta = \frac{e^{i\vartheta} - e^{-i\vartheta}}{2i} = \frac{\det(u, w)}{\sqrt{(u, u)(w, w)}}, \quad (20-1)$$

где $\det(u, w)$ означает определитель матрицы координат векторов u и w в ортонормальном базисе евклидова пространства $V = \mathbb{R}^2$. Обратите внимание, что при умножении евклидова скалярного произведения в \mathbb{R}^2 на положительную вещественную константу правые части обеих

¹Т. е. $\sigma(u + w) = \sigma(u) + \sigma(w)$ для всех $u, w \in \mathbb{C}^3$, но $\sigma(zv) = \bar{z}\sigma(v)$ для всех $z \in \mathbb{C}$ и $v \in \mathbb{C}^3$, см. п. 2.1.3 на стр. 26.

²См. п. 2.1 на стр. 24.

формулы не меняются. С геометрической точки зрения конформная структура представляет собою гладкую вещественную квадрику на бесконечно удалённой прямой $\ell_\infty = \mathbb{P}(V_\mathbb{C})$, задаваемую уравнением $x_1^2 + x_2^2 = 0$ и состоящую из комплексных изотропных векторов

$$\iota_+ = (i : 1) = (1 : -i) \quad \text{и} \quad \iota_- = (-i : 1) = (1 : i) \quad (20-2)$$

евклидовой формы, продолженной с \mathbb{R}^2 до комплексно билинейной формы на \mathbb{C}^2 . Мы будем называть точки (20-2) *изотропными направлениями*.

Пример 20.1 (евклидова перпендикулярность)

Сопоставление направлению $v \in \ell_\infty$ евклидово перпендикулярного направления v^\perp задаёт на прямой ℓ_∞ инволютивную гомографию с неподвижными точками ι_\pm . Она называется *перпендикулярностью*. Равенство $(u, w) = 0$ в $V_\mathbb{C}$ означает гармоничность направлений $u, w \in \ell_\infty$ изотропным направлениям: $[u, w, \iota_+, \iota_-] = -1$.

Пример 20.2 (угол как двойное отношение)

Так как для вещественных направлений $u, w \in \mathbb{R}^2$ двойное отношение $[u, w, \iota_+, \iota_-] \in \mathbb{C}$ сопряжено своему обратному: $\overline{[u, w, \iota_+, \iota_-]} = [\bar{u}, \bar{w}, \bar{\iota}_+, \bar{\iota}_-] = [u, w, \iota_-, \iota_+] = [u, w, \iota_+, \iota_-]^{-1}$, оно лежит на единичной окружности $\{z \in \mathbb{C} : |z| = 1\}$, т. е. $[u, w, \iota_+, \iota_-] = e^{i\varphi}$ для некоторого $\varphi \in \mathbb{R}/2\pi\mathbb{Z}$. Выясним, как связан этот угол φ с евклидовым углом $\vartheta = \sphericalangle(u, w)$ между векторами u и w в \mathbb{R}^2 из формул (20-1). Пусть $u = \iota_+ + \lambda\iota_-$, $w = \iota_+ + \mu\iota_-$, где $\lambda, \mu \in \mathbb{C}$. Тогда

$$[u, w, \iota_+, \iota_-] = \frac{\det(u, \iota_+) \det(w, \iota_-)}{\det(w, \iota_+) \det(u, \iota_-)} = \frac{\lambda \det(\iota_-, \iota_+) \det(\iota_+, \iota_-)}{\mu \det(\iota_-, \iota_+) \det(\iota_+, \iota_-)} = \frac{\lambda}{\mu}.$$

Поскольку евклидова матрица Грама и определитель векторов ι_\pm суть

$$G_{(\iota_+, \iota_-)} = \begin{pmatrix} 0 & 2 \\ 2 & 0 \end{pmatrix}, \quad \det(\iota_+, \iota_-) = \det \begin{pmatrix} i & -i \\ 1 & 1 \end{pmatrix} = 2i,$$

скалярные произведения $(u, w) = 2(\lambda + \mu)$, $(u, u) = 4\lambda$, $(w, w) = 4\mu$ и по формулам (20-1)

$$\frac{e^{i\vartheta} + e^{-i\vartheta}}{2} = \frac{\sqrt{\lambda/\mu} + \sqrt{\mu/\lambda}}{2} = \frac{e^{i\varphi/2} + e^{-i\varphi/2}}{2}$$

$$\frac{e^{i\vartheta} - e^{-i\vartheta}}{2i} = \frac{\sqrt{\lambda/\mu} - \sqrt{\mu/\lambda}}{2i} = \frac{e^{i\varphi/2} - e^{-i\varphi/2}}{2i},$$

откуда $\vartheta = \varphi/2$, т. е. ориентированный евклидов угол между вещественными направлениями $u, w \in \ell_\infty$ равен половине аргумента их двойного отношения с изотропными направлениями:

$$\sphericalangle(u, w) = \frac{1}{2} \operatorname{Arg}[u, w, \iota_+, \iota_-]. \quad (20-3)$$

20.2. Гладкие непустые вещественные коники. Гладкая непустая вещественная коника называется *параболой*, если она касается прямой ℓ_∞ , и называется *гиперболой* или *эллипсом*, если она пересекает прямую ℓ_∞ по двум различным, соответственно, вещественным или комплексно сопряжённым друг другу точкам. Точки пересечения $\{a', a''\}$ коники с бесконечностью называются *асимптотическими направлениями* этой коники. Таким образом, парабола имеет ровно одно, автоматически вещественное асимптотическое направление, которое также называют *направлением оси* параболы. Это же направление является полюсом прямой ℓ_∞ относительно

параболы, см. рис. 20◊1. Гипербола имеет два различных вещественных асимптотических направления, а эллипс — два различных комплексно сопряжённых друг другу асимптотических направления, см. рис. 20◊2. Полюс z_* прямой ℓ_∞ относительно не являющейся параболой коники C называется *центром* коники C . Он лежит в евклидовой плоскости \mathbb{R}^2 и является центром симметрии аффинной части коники, так как по предл. 18.1 на стр. 238 на любой проходящей через z_* прямой, пересекающей конику в точках b, d , а бесконечность в точке p , двойное отношение $[p, z_*, b, d] = -1$, т. е. z_* является серединой отрезка $[b, d]$ в аффинной карте, для которой $p = \infty$. По этой причине эллипсы и гиперболы в совокупности называются *центральной коникой*. Проходящие через центр прямые называются *диаметрами* центральной коники C . Касательные диаметры $(z_* a')$ и $(z_* a'')$, идущие из центра в асимптотических направлениях, называются *асимптотами*. Гипербола имеет вещественные асимптоты, эллипс — не вещественные комплексно сопряжённые.

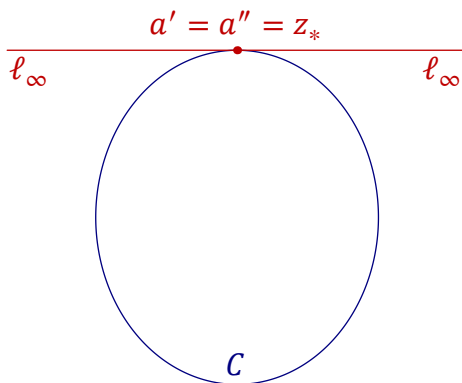


Рис. 20◊1. Парабола.

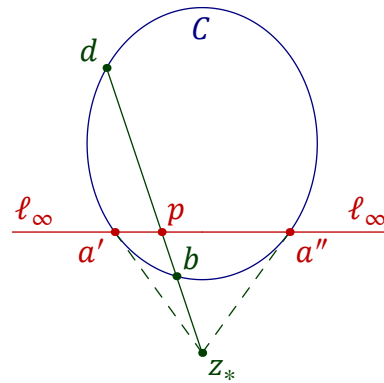


Рис. 20◊2. Центральная коника.

УПРАЖНЕНИЕ 20.1. Покажите, что любой диаметр центральной коники делит пополам все хорды, параллельные¹ сопряжённому диаметру.

Если коника C задаётся в стандартном ортонормальном базисе в \mathbb{R}^2 неоднородным уравнением

$$f(x_1, x_2) = \beta_{11}x_1^2 + 2\beta_{12}x_1x_2 + \beta_{22}x_2^2 + 2\beta_{01}x_1 + 2\beta_{02}x_2 + \beta_{00} = 0, \quad (20-4)$$

то её проективное замыкание² имеет в однородных координатах $(x_0 : x_1 : x_2)$ на \mathbb{P}_2 матрицу Грама

$$B = \begin{pmatrix} \beta_{00} & \beta_{01} & \beta_{02} \\ \beta_{01} & \beta_{11} & \beta_{12} \\ \beta_{02} & \beta_{12} & \beta_{22} \end{pmatrix}. \quad (20-5)$$

Невырожденность коники C означает, что $\det B \neq 0$, а непустота — что сигнатура отлична от $(3, 0)$ и $(0, 3)$, т. е. что последовательность знаков главных нижних угловых миноров

$$\Delta_2 \stackrel{\text{def}}{=} \beta_{22}, \quad \Delta_{12} \stackrel{\text{def}}{=} \beta_{11}\beta_{22} - \beta_{12}^2, \quad \Delta_{012} \stackrel{\text{def}}{=} \det B$$

¹По определению, прямые *параллельные* данной $\ell \subset \mathbb{P}_2$ суть все прямые из пучка с центром в точке $\ell \cap \ell_\infty$, за исключением самих прямых ℓ и ℓ_∞ .

²См. п° 16.4.3 на стр. 216.

отлична от $+++$ и $-+-$. Асимптотические направления $\{a', a''\} = C \cap \ell_\infty$ коники C суть корни однородной квадратичной формы от (x_1, x_2) с матрицей Грама

$$B_\infty = \begin{pmatrix} \beta_{11} & \beta_{12} \\ \beta_{12} & \beta_{22} \end{pmatrix}. \quad (20-6)$$

Гладкая непустая вещественная коника C является эллипсом, параболой или гиперболой если и только если определитель¹ $\Delta_{12} = \det B_\infty$, соответственно, положителен, равен нулю или отрицателен. Однородные координаты полюса $z_* = (z_0 : z_1 : z_2)$ бесконечно удалённой прямой $x_0 = 0$ удовлетворяет уравнению $(z_0 : z_1 : z_2)B = (1 : 0 : 0)$, т. е. пропорциональны первой строке присоединённой матрицы B^\vee к матрице Грама B коники C :

$$(z_0 : z_1 : z_2) = (\Delta_{12} : \beta_{12}\beta_{02} - \beta_{01}\beta_{22} : \beta_{01}\beta_{12} - \beta_{11}\beta_{02}). \quad (20-7)$$

Для центральной коники эта формула позволяет найти аффинные координаты центра в карте U_0 :

$$(z_1, z_2) = \left(\frac{\beta_{12}\beta_{02} - \beta_{01}\beta_{22}}{\Delta_{12}}, \frac{\beta_{01}\beta_{12} - \beta_{11}\beta_{02}}{\Delta_{12}} \right). \quad (20-8)$$

Для параболы $\Delta_{12} = 0$, и формула (20-8) даёт координаты направления оси параболы:

$$(x_1 : x_2) = (\beta_{12}\beta_{02} - \beta_{01}\beta_{22} : \beta_{01}\beta_{12} - \beta_{11}\beta_{02}). \quad (20-9)$$

20.2.1. Окружности. Сопряжение² относительно центральной коники C задаёт на бесконечности инволюцию, неподвижными точками которой являются асимптотические направления коники C . Если эта инволюция совпадает с перпендикулярностью³, что равносильно совпадению асимптотических направлений коники C с изотропными направлениями⁴ ι_\pm , то коника C называется *окружностью*. Это определение согласуется со школьным: проективное замыкание «школьной» окружности радиуса r с центром в точке $c = (c_1, c_2) \in \mathbb{R}^2$ задаётся на \mathbb{P}_2 однородным уравнением $(x_1 - c_1 x_0)^2 + (x_2 - c_2 x_0)^2 = r^2 x_0^2$ и пересекает бесконечно удалённую прямую $x_0 = 0$ в точности по евклидовой квадратике $x_1^2 + x_2^2 = 0$; наоборот, выбирая на непустой гладкой вещественной конике C три вещественные точки⁵ p_1, p_2, p_3 , видим, что если такая коника проходит через точки ι_\pm , то она совпадает со «школьной» окружностью, проходящей через точки p_1, p_2, p_3 , ибо через пять точек проходит ровно одна гладкая коника.

20.2.2. Главные оси центральной коники. Если центральная коника C не является окружностью, то согласно [сл. 17.4](#) на стр. 234 существуют ровно два направления $x_*, y_* \in \ell_\infty$, одновременно перпендикулярные друг другу и сопряжённые относительно коники C . Эти направления автоматически различны, поскольку равенство $x_* = y_*$ означает, что эта точка совпадает с одной из точек ι_\pm , а вещественная коника, проходящая через одну из точек ι_\pm автоматически проходит и через комплексно сопряжённую ей вторую точку ι_\mp , а значит, является окружностью. Перпендикулярные сопряжённые друг другу относительно C направления называются

¹Противоположный по знаку дискриминанту бинарной квадратичной формы с матрицей Грама B_∞ , см. [прим. 14.1](#) на стр. 189 и [прим. 16.6](#) на стр. 211.

²См. [п° 18.1.2](#) на стр. 238.

³См. [прим. 20.1](#) на стр. 263.

⁴См. формулу (20-2) на стр. 263.

⁵Автоматически неколлинеарные!

главными осями коники C . Их легко найти явно: если $x_* = (x_1 : x_2)$, то $y_* = (-x_2 : x_1)$ в силу перпендикулярности, а сопряжённость относительно C означает, что

$$0 = (x_1, x_2) \begin{pmatrix} \beta_{11} & \beta_{12} \\ \beta_{12} & \beta_{22} \end{pmatrix} \begin{pmatrix} -x_2 \\ x_1 \end{pmatrix} = \beta_{12}x_1^2 - (\beta_{11} - \beta_{22})x_1x_2 - \beta_{12}x_2^2, \quad (20-10)$$

откуда

$$x_* = (\beta_{11} - \beta_{22} + \sqrt{D} : 2\beta_{12}), \quad y_* = (\beta_{11} - \beta_{22} - \sqrt{D} : 2\beta_{12}), \quad (20-11)$$

где $D = (\beta_{11} - \beta_{22})^2 + 4\beta_{12}^2$.

Упражнение 20.2. Убедитесь, что x_* и y_* являются собственными векторами симметричной матрицы B_∞ из формулы (20-6) с собственными числами, соответственно, равными¹

$$(\beta_{11} + \beta_{22} + \sqrt{D})/2 \quad \text{и} \quad (\beta_{11} + \beta_{22} - \sqrt{D})/2.$$

Поскольку центр z_* является полюсом прямой $\ell_\infty = (x_*y_*)$, треугольник $\Delta x_*y_*z_*$ автополярен относительно коники C . Таким образом, матрица Грама коники C в базисе x_*, y_*, z_* диагональна, и в аффинном координатном репере карты U_0 с началом в точке z_* и евклидово перпендикулярными базисными векторами x_* и y_* коника C задаётся неоднородным уравнением вида

$$\alpha x^2 + \beta y^2 = 1$$

где $\alpha = -f(x_*)/f(z_*)$, $\beta = -f(y_*)/f(z_*)$, а $f(x_1, x_2)$ — исходный неоднородный многочлен (20-4), задающий конику C .

20.3. Геометрия центральных коник. Точка $f \in \mathbb{P}_2 \setminus \ell_\infty$ называется *фокусом* центральной коники $C \subset \mathbb{P}_2$, если обе прямые $(f\iota_+)$ и $(f\iota_-)$ касаются коники C . Поляры фокусов относительно коники C называются *директрисами* этой коники. Таким образом, отличная от окружности центральная коника имеет четыре различных фокуса, см. рис. 20◊3.

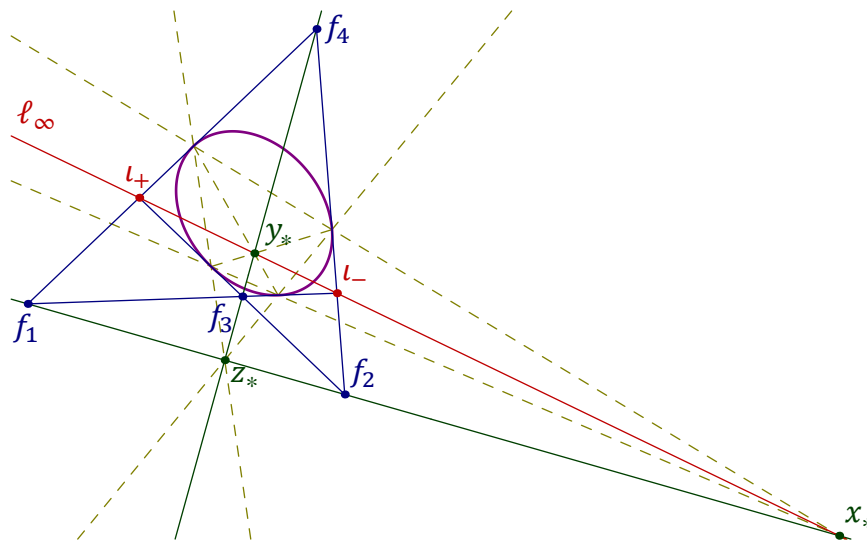


Рис. 20◊3. Фокусы, директрисы и главные оси центральной коники.

¹Эти числа суть корни характеристического многочлена $\lambda^2 - (\beta_{11} + \beta_{22})\lambda + \Delta_{12}$ матрицы B_∞ . Обратите внимание, что он имеет тот же дискриминант $D = (\beta_{11} + \beta_{22})^2 - 4(\beta_{11}\beta_{22} - \beta_{12}^2) = (\beta_{11} - \beta_{22})^2 + 4\beta_{12}^2$, что и многочлен (20-10).

Комплексное сопряжение переставляет между собою изотропные направления l_{\pm} и переводит касательные ℓ_1, ℓ_2 , опущенные на C из l_+ , в касательные $\bar{\ell}_1, \bar{\ell}_2$, опущенные из $l_- = \bar{l}_+$. Поэтому фокусы $f_1 \stackrel{\text{def}}{=} \ell_1 \cap \bar{\ell}_1$ и $f_2 \stackrel{\text{def}}{=} \ell_2 \cap \bar{\ell}_2$ вещественны, а фокусы $f_3 \stackrel{\text{def}}{=} \ell_1 \cap \ell_2$ и $f_4 \stackrel{\text{def}}{=} \ell_2 \cap \ell_1$ невещественны и комплексно сопряжены друг другу. Обозначим через $\Delta x_* y_* z_*$ автополярный относительно C треугольник, ассоциированный с вписанным в конику C четырёхвершинником¹, который образован точками касания с C четырёх фокальных касательных. Так как точка x_* лежит на полярах фокусов f_3 и f_4 , прямая $(f_3 f_4)$ является полярной точки x_* и, стало быть, совпадает с прямой $(y_* z_*)$. По той же причине прямая $(f_1 f_2)$ совпадает с прямой $(x_* z_*)$, а прямая $(l_+ l_-) = \ell_{\infty}$ — с прямой $(x_* y_*)$, см. рис. 20◊3. Таким образом, прямые $(f_1 f_2)$ и $(f_3 f_4)$ пересекаются в центре z_* коники C и пересекают бесконечность в точках $x_* = \ell_{\infty} \cap (f_1 f_2)$ и $y_* = \ell_{\infty} \cap (f_2 f_3)$, которые являются главными осями коники C , ибо $[x_*, y_*, l_+, l_-] = -1$, так как в пучке прямых с центром в фокусе f_1 касательные прямые $(f_1 l_+)$ и $(f_1 l_-)$ гармоничны сопряжённым относительно C прямым² $(f_1 x_*)$ и $(f_1 y_*)$.

Упражнение 20.3. Покажите, что пересекающиеся в точке y_* пунктирные прямые на рис. 20◊3 проходят через фокусы f_1 и f_2 .

Упражнение 20.4. Что представляют собою фокусы и директрисы окружности?

Пример 20.3

Выясним тип коники C , задаваемой в стандартных координатах на \mathbb{R}^2 уравнением

$$-2x_1^2 + 12x_1x_2 - x_2^2 + 10x_1 - 6x_2 = 4, \quad (20-12)$$

и найдём её центр, асимптоты и главные оси. Проективное замыкание коники C задаётся в \mathbb{P}_2 однородным уравнением $-4x_0^2 + 10x_0x_1 - 6x_0x_2 - 2x_1^2 + 12x_1x_2 - x_2^2 = 0$ с матрицей Грама

$$B = \begin{pmatrix} -4 & 5 & -3 \\ 5 & -2 & 6 \\ -3 & 6 & -1 \end{pmatrix}. \quad (20-13)$$

По форм. (20-8) на стр. 265 однородные координаты центра суть

$$\left(\det \begin{pmatrix} -2 & 6 \\ 6 & 1 \end{pmatrix} : -\det \begin{pmatrix} 5 & 6 \\ -3 & -1 \end{pmatrix} : \det \begin{pmatrix} 5 & -2 \\ -3 & 6 \end{pmatrix} \right) = (-38 : -13 : 24),$$

а аффинные координаты центра в стандартном базисе \mathbb{R}^2 равны $(z_1, z_2) = (13/38, -12/19)$. Пересечение коники C с бесконечно удалённой прямой $x_0 = 0$ задаётся уравнением

$$2x_1^2 - 12x_1x_2 + x_2^2 = 0,$$

которое имеет два вещественных корня $(x_1 : x_2) = (2 : 6 \pm \sqrt{34})$. Поэтому коника C является гиперболой, и её асимптоты задаются в стандартных координатах на \mathbb{R}^2 уравнениями $(6 \pm \sqrt{34})(x_1 - 13/38) = 2(x_2 + 12/19)$. Направления главных осей коники C являются корнями уравнения из форм. (20-11) на стр. 266: $6x_1^2 + x_1x_2 - 6x_2^2 = 0$ и равны $(12 : -1 \pm \sqrt{145})$.

¹См. прим. 17.6 на стр. 234 и прим. 19.1 на стр. 254.

²См. сл. 18.1 на стр. 238.

ПРИМЕР 20.4

Центр и главные оси центральной коники, заданной аффинным уравнением

$$\alpha x^2 + \beta y^2 = 1, \quad \text{где } \alpha > 0, \quad (20-14)$$

имеют однородные координаты $z_* = (1 : 0 : 0)$, $x_* = (0 : 1 : 0)$, $y_* = (0 : 0 : 1)$. Точка $f = z_* + tx_* \in (z_* x_*)$ является фокусом если и только если ограничение однородного уравнения коники на прямую $(f \iota_+)$ вырождено. Это ограничение имеет в базисе f, ι_+ матрицу Грама

$$\begin{pmatrix} 1 & t & 0 \\ 0 & i & 1 \end{pmatrix} \begin{pmatrix} -1 & 0 & 0 \\ 0 & \alpha & 0 \\ 0 & 0 & \beta \end{pmatrix} \begin{pmatrix} 1 & 0 \\ t & i \\ 0 & 1 \end{pmatrix} = \begin{pmatrix} \alpha t^2 - 1 & iat \\ iat & \beta - \alpha \end{pmatrix}$$

с определителем $\alpha\beta t^2 + \beta - \alpha$, который зануляется при $t = \pm\sqrt{\alpha^{-1} - \beta^{-1}}$. Таким образом, два лежащих на оси $(z_* x_*)$ фокуса коники (20-14) имеют аффинные координаты $(\pm\sqrt{\alpha^{-1} - \beta^{-1}}, 0)$. Симметричным образом, два лежащих на перпендикулярной оси $(z_* y_*)$ фокуса имеют аффинные координаты $(0, \pm\sqrt{\beta^{-1} - \alpha^{-1}})$. При $\beta > \alpha$ или $\beta < 0$ первые два фокуса вещественны, а вторые — чисто мнимы и комплексно сопряжены, при $0 < \beta < \alpha$ всё наоборот. При $\beta < 0$ коника (20-14) является гиперболой, при $0 < \beta < \alpha$ и $\beta > \alpha$ — эллипсом. При $\alpha = \beta$ коника превращается в окружность и все четыре фокуса сливаются с её центром. У эллипса и гиперболы, заданных на евклидовой плоскости своими стандартными аффинными уравнениями

$$\frac{x^2}{a^2} + \frac{y^2}{b^2} = 1 \quad \text{и} \quad \frac{x^2}{a^2} - \frac{y^2}{b^2} = 1, \quad \text{в которых } \alpha = \frac{1}{a^2}, \quad \beta = \frac{1}{b^2}, \quad a, b \in \mathbb{R},$$

вещественные фокусы располагаются так, как показано на рис. 20◊4 и рис. 20◊5.

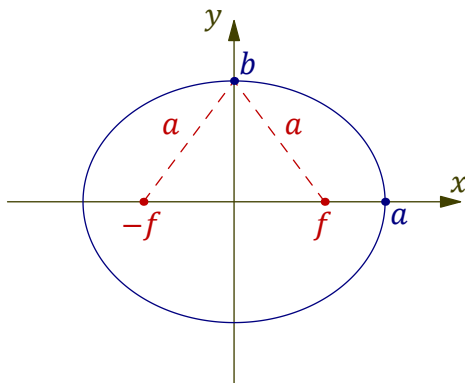


Рис. 20◊4. Вещественные фокусы эллипса.

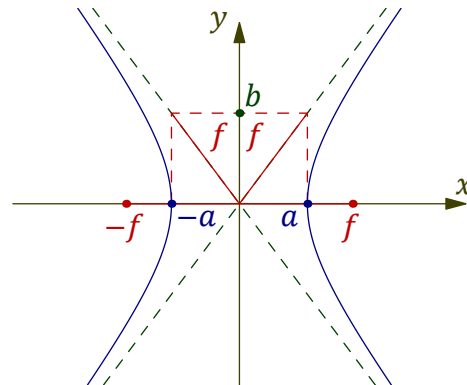


Рис. 20◊5. Вещественные фокусы гиперболы.

20.3.1. Директор центральной коники. Сопряжение относительно центральной коники C задаёт гомографию $\delta_C : \iota_+^\times \simeq \iota_-^\times$ между пучками прямых с центрами в точках ι_\pm . Она переводит прямую $\ell \ni \iota_+$ в сопряжённую ей относительно C прямую $\delta_C(\ell) \ni \iota_-$, см. рис. 20◊6. Пусть точка $p = \ell \cap \delta_C(\ell)$ является точкой пересечения соответственных прямых¹. На пучке $p^\times \subset \mathbb{P}_2^\times$ всех проходящих через p прямых коника C также задаёт инволюцию, переставляющую между собою

¹На рис. 20◊6 показаны три такие точки: p_1, p_2 и p_3 .

сопряжённые относительно C прямые. Так как неподвижными точками этой инволюции являются две опущенные из p на C касательные, сопряжённые относительно C прямые $(p\iota_-)$ и $(p\iota_+)$ гармоничны¹ в пучке p^\times паре касательных, опущенных из p на C . Стало быть, эти касательные перпендикулярны. Наоборот, если точка $p \in \mathbb{P}_2$ такова, что опущенные из неё на конику C касательные перпендикулярны, т. е. гармоничны прямых $(p\iota_+)$ и $(p\iota_-)$, то последние две прямые сопряжены друг другу относительно коники C , т. е. переводятся друг в друга гомографией $\delta_C: \iota_+^\times \rightleftharpoons \iota_-^\times$. Мы заключаем, что ГМТ пересечения соответственных прямых $\ell \cap \delta_C(\ell)$ совпадает с ГМТ $p \in \mathbb{P}_2$, из которых коника C видна под прямым углом.

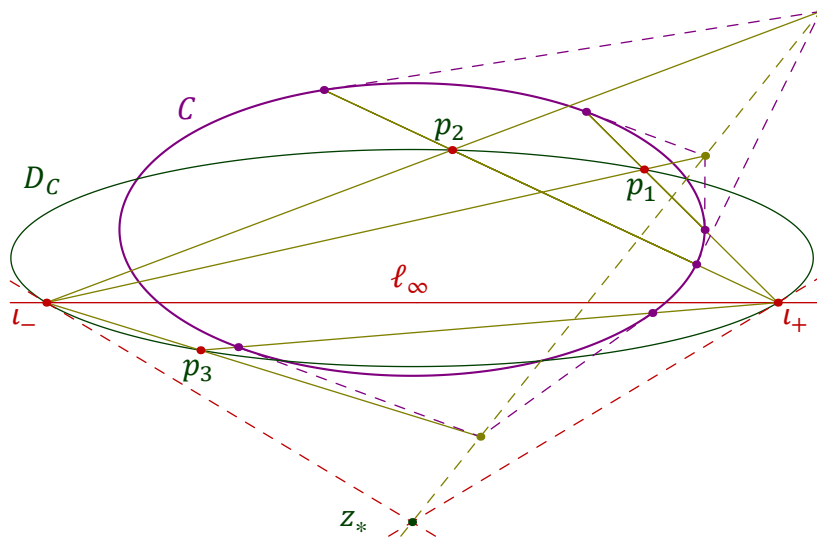


Рис. 20◊6. Директор центральной коники.

Согласно предл. 17.2 на стр. 228, ГМТ пересечения соответственных прямых неперспективной гомографии между двумя пучками прямых является гладкой коникой, проходящей через центры пучков, как на рис. 20◊6. Поскольку в нашем случае центрами пучков служат точки ι_\pm , эта коника — окружность. Она называется директором центральной коники C и обозначается D_C . Так как² $\delta_C(\ell_\infty) = T_{\iota_-}D_C$ и $\delta_C(T_{\iota_+}D_C) = \ell_\infty$, прямая ℓ_∞ сопряжена относительно коники C обоим касательным к окружности D_C в точках ι_\pm . Следовательно, эти касательные пересекаются в полюсе z_* прямой ℓ_∞ относительно коники C , т. е. директор концентричен C .

УПРАЖНЕНИЕ 20.5. Напишите явное уравнение директора D_C в главных осях коники C .

20.3.2. Софокусные семейства центральных коник. Гладкие вещественные коники с теми же самыми фокусами³, что и заданная гладкая центральная коника C , лежат в семействе комплексных коник на \mathbb{P}_2 , касающихся фиксированных четырёх прямых — опущенных из точек ι_\pm на конику C касательных, см. рис. 20◊3 на стр. 266. Все эти коники имеют общие центр и главные оси, а двойственные им коники в \mathbb{P}_2^\times образуют простой пучок F коник, проходящих через четыре точки, двойственные прямым

$$(\iota_+f_1) = (\iota_+f_4), \quad (\iota_+f_2) = (\iota_+f_3), \quad (\iota_-f_2) = (\iota_-f_4), \quad (\iota_-f_1) = (\iota_-f_3). \quad (20-15)$$

¹См. сл. 18.1 на стр. 238.

²См. предл. 17.2 на стр. 228.

³Обратите внимание, что для этого достаточно, чтобы два вещественных фокуса были общими.

Три распавшиеся коники этого пучка суть объединения пар прямых, изображающих пучки прямых на \mathbb{P}_2 , с центрами в точках $\iota_{\pm}, f_{1,2}$ и $f_{3,4}$:

$$\iota_+^{\times} \cup \iota_-^{\times}, \quad f_1^{\times} \cup f_2^{\times}, \quad f_3^{\times} \cup f_4^{\times}. \quad (20-16)$$

Для любой точки $p \in \mathbb{P}_2$ на пучке $p^{\times} \subset \mathbb{P}_2^{\times}$ проходящих через p прямых имеется инволюция Дезарга¹ $\sigma_F : p^{\times} \simeq p^{\times}$, которая задаётся пучком коник F и переставляет между собою проходящие через p касательные к софокусным с C коникам. Прямая $\ell \ni p$ является неподвижной точкой инволюции σ_F если и только если она касается софокусной с C коники, проходящей через p . Так как инволютивная гомография над полем \mathbb{C} имеет ровно две различные неподвижные точки², через любую точку $p \in \mathbb{P}_2$ проходят ровно две софокусные с C коники C'_p, C''_p . Касательные к ним прямые $\ell' = T_p C'_p$ и $\ell'' = T_p C''_p$, будучи неподвижными точками инволюции Дезарга, гармоничны любой паре прямых, переставляемых этой инволюцией. Пересекая прямую $p^{\times} \subset \mathbb{P}_2^{\times}$ с распавшимися кониками (20-16), мы видим, что σ_F переставляет между собою пары прямых

$$(p\iota_+) \overset{\sigma_F}{\leftrightarrow} (p\iota_-), \quad (pf_1) \overset{\sigma_F}{\leftrightarrow} (pf_2), \quad (pf_3) \overset{\sigma_F}{\leftrightarrow} (pf_4).$$

Это приводит к равенству $[\ell', \ell'', (p\iota_+), (p\iota_-)] = -1$, означающему, что неподвижные прямые ℓ' и ℓ'' перпендикулярны³. Тем самым, две проходящие через p софокусные C коники пересекаются в точке p под прямым углом, как на рис. 20♦7. Так как инволюция Дезарга сохраняет двойные отношения, $[\ell', (pf_1), (p\iota_+), (p\iota_-)] = [\ell', (pf_2), (p\iota_-), (p\iota_+)] = [\ell', (pf_2), (p\iota_+), (p\iota_-)]$, т. е. острые углы, которые прямая ℓ' образует с прямыми (pf_1) и (pf_2) равны друг другу в силу прим. 20.2 на стр. 263. По той же причине равны друг другу и острые углы, которые образует с прямыми (pf_1) и (pf_2) прямая ℓ'' , а также острые углы, которые каждая из прямых ℓ', ℓ'' образует с касательными, опущенными из точки p на любую софокусную с C конику. Иначе говоря, перпендикулярные касательные ℓ', ℓ'' к двум проходящим через p софокусным с C коникам являются биссектрисами углов между прямыми (pf_1) и (pf_2) , соединяющими точку p с вещественными фокусами, а также биссектрисами углов между двумя касательными прямыми, опущенными из p на любую не проходящую через p софокусную с C конику, см. рис. 20♦7. Мы получаем

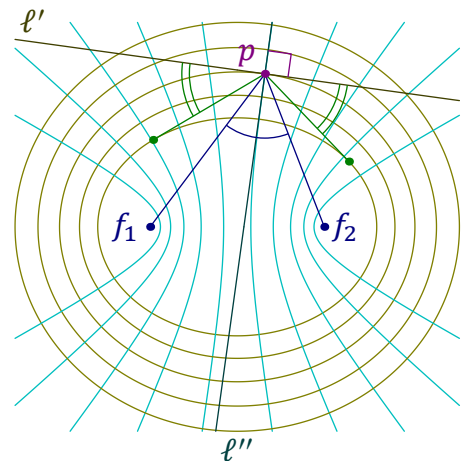


Рис. 20♦7. Софокусные центральные коники.

Предложение 20.1

Для любых точки p и гладкой центральной коники C с вещественными фокусами f_1, f_2 угол между прямой (pf_1) и опущенной из p на C касательной равен углу между второй касательной и прямой (pf_2) . □

Предложение 20.2 (фокальное свойство геометрической оптики)

Все отражённые гладкой центральной коникой лучи света от точечного источника в её вещественном фокусе проходят через другой вещественный фокус. □

¹ См. прим. 19.2 на стр. 255.

² См. прим. 17.5 на стр. 233.

³ См. прим. 20.1 на стр. 263.

Пример 20.5

Если центральная коника $C \subset \mathbb{R}^2$ имеет уравнение $ax^2 + by^2 = 1$, то двойственная ей коника $C^\times \subset \mathbb{P}_2^\times$ задаётся однородным уравнением¹ $-x_0^2 + a^{-1}x_1^2 + b^{-1}x_2^2 = 0$, а распавшаяся коника $l_+^\times \cup l_-^\times \subset \mathbb{P}_2^\times$ — уравнением $x_1^2 + x_2^2 = 0$. Натянутый на них пучок коник на \mathbb{P}_2^\times описывается однопараметрическим уравнением $-x_0^2 + (a^{-1} + \lambda) \cdot x_1^2 + (b^{-1} + \lambda) \cdot x_2^2 = 0$, где $\lambda \in \mathbb{C}$. Двойственные им коники софокусной с C системы коник на \mathbb{P}_2 имеют аффинные уравнения

$$\frac{x^2}{a^{-1} + \lambda} + \frac{y^2}{b^{-1} + \lambda} = \frac{ax^2}{1 + a\lambda} + \frac{by^2}{1 + b\lambda} = 1.$$

Упражнение 20.6. Покажите, что из двух пересекающихся в заданной точке коник софокусной системы одна является эллипсом, а другая — гиперболой.

20.3.3. Гипербола Аполлония. Для произвольных точки p и гладкой центральной коники C с центром в точке z_* обозначим через $\varphi : z_*^\times \rightarrow p^\times$ гомографию пучка диаметров коники C в пучок прямых с центром в p , переводящую диаметр $\ell \ni z_*$ в опущенный из точки p перпендикуляр ℓ_p на сопряжённый к ℓ относительно коники C диаметр $\ell' \ni z_*$, см. рис. 20◊8.

Упражнение 20.7. Убедитесь, что это и впрямь гомография.

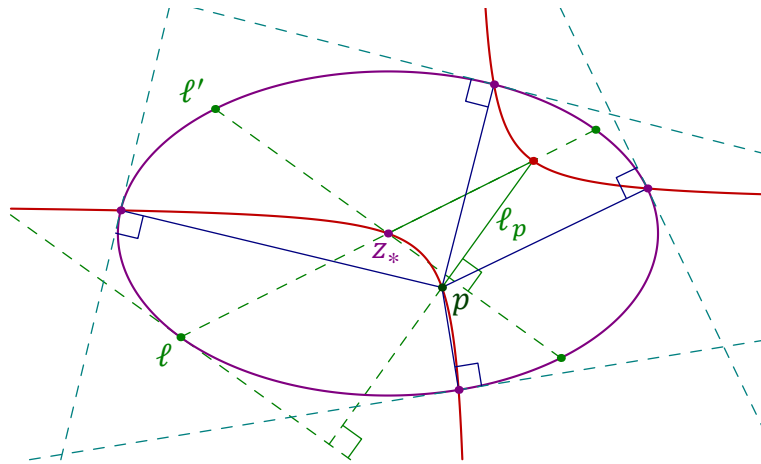


Рис. 20◊8. Гипербола Аполлония точки p относительно эллипса.

Согласно предл. 17.2 на стр. 228, ГМТ пересечения соответственных прямых $\ell \cap \ell_p$ является коникой H , проходящей через центр коники C и точку p . Поскольку гомография φ переводит главные направления (z_*x_*) и (z_*y_*) в прямые (px_*) и (py_*) соответственно, коника H является гиперболой с асимптотами, параллельными главным осям коники C . Она называется *гиперболой Аполлония* точки p относительно коники C и замечательна тем, что пересекает конику C ровно по таким точкам $a \in C$, для которых прямая (pa) перпендикулярна касательной $T_a C$ к конике C в точке a , поскольку сопряжённый к (z_*a) диаметр коники параллелен касательной² $T_a C$, см. рис. 20◊8. В качестве следствия мы заключаем, что из произвольной точки p на гладкую центральную конику C можно опустить не более четырёх перпендикуляров.

¹См. предл. 18.2 на стр. 238.

²Касательные, восстановленные в концах диаметра, пересекаются в его полюсе, лежащем на поляре центра — прямой ℓ_∞ . Прямая, соединяющая этот полюс с центром коники — это сопряжённый диаметр.

20.4. Геометрия парабол. Парабола P , касающаяся бесконечности в точке $x_* = \ell_\infty \cap P$, может рассматриваться как результат такого сдвига центральной коники, при котором центр сливается с тремя фокусами f_2, f_3, f_4 в одну точку $x_* \in \ell_\infty$ — направление оси¹ параболы P , см. рис. 20◊9. Директрисы фокусов f_2, f_3, f_4 при этом тоже сливаются друг с другом и превращаются в прямую ℓ_∞ . Единственный оставшийся конечный фокус $f = f_1$ называется *фокусом*, а его поляра — *директрисой* параболы P . Конечная точка пересечения параболы с прямой (x_*f) обозначается через z_* и называется *вершиной* параболы. Все они автоматически вещественны. Точки x_* и $y_* = T_c P \cap \ell_\infty$ называются *главными осями* параболы P . Они сопряжены относительно параболы и перпендикулярны. Первое очевидно из рис. 20◊9, второе выражает тот факт, что в пучке прямых с центром в f_1 сопряжённые относительно коники C направления x_*, y_* гармоничны изотропным касательным направлениям.

УПРАЖНЕНИЕ 20.8. Покажите, что середины хорд, отсекаемых из параболы любым пучком параллельных прямых, лежат на прямой, параллельной оси параболы.

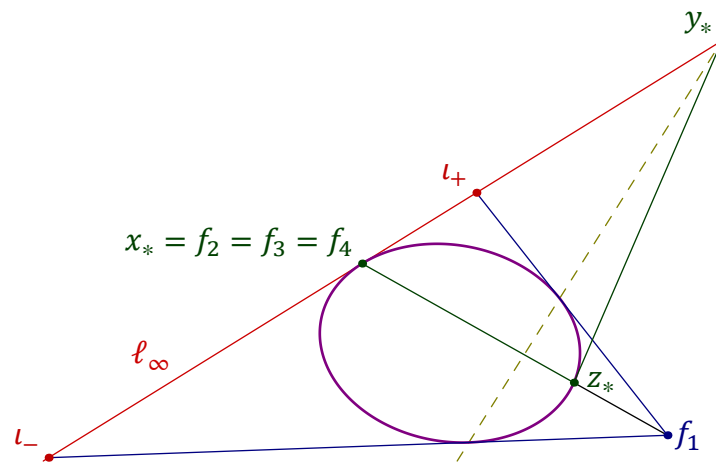


Рис. 20◊9. Фокус, директриса и ось параболы.

Так как анизотропный вектор y_* сопряжён относительно P обеим точкам x_*, z_* , и обе они изотропны, однородное уравнение параболы в базисе x_*, y_*, z_* записывается в виде $y^2 = 2axz$, где $a > 0$. В аффинном репере карты U_0 с началом в z_* и евклидово перпендикулярными осями координат x_*, y_* это уравнение преобразуется в неоднородное уравнение $y^2 = 2ax$.

УПРАЖНЕНИЕ 20.9. Убедитесь, что фокус такой параболы находится в точке $(a/2, 0)$, а директриса задаётся уравнением $x = -a/2$.

ПРИМЕР 20.6 (ОТЫСКАНИЕ ВЕРШИНЫ ПАРАБОЛЫ)

Определим тип коники C , заданной в ортонормальном базисе евклидовой плоскости \mathbb{R}^2 уравнением $x^2 - 4xy + 4y^2 + 4x - 6y + 3 = 0$. Матрица Грама её проективного замыкания

$$B = \begin{pmatrix} 3 & 2 & -3 \\ 2 & 1 & -2 \\ -3 & -2 & 4 \end{pmatrix}.$$

¹См. рис. 20◊2 на стр. 264.

По форм. (20-7) на стр. 265 полюс бесконечно удалённой прямой ℓ_∞ находится в точке

$$x_* = \left(\det \begin{pmatrix} 1 & -2 \\ -2 & 4 \end{pmatrix} : -\det \begin{pmatrix} 2 & -2 \\ -3 & 4 \end{pmatrix} : \det \begin{pmatrix} 2 & 1 \\ -3 & -2 \end{pmatrix} \right) = (0 : -2 : -1) \in \ell_\infty.$$

Тем самым, коника является параболой. Её ось параллельна вектору $(2, 1) \in \mathbb{R}^2$, т. е. проходит через изотропную точку $x_* = (0 : 2 : 1) \in \ell_\infty$, и является полярой евклидово перпендикулярной к x_* точки $y_* = (0 : -1 : 2) \in \ell_\infty$, т. е. задаётся уравнением $\alpha_0 x_0 + \alpha_1 x_1 + \alpha_2 x_2 = 0$ с коэффициентами $(\alpha_0 : \alpha_1 : \alpha_2) = (0 : -1 : 2) B = (-8 : -5 : 10)$. Вершина z_* параболы C является второй, отличной от x_* , изотропной точкой квадратичной формы B на оси и может быть получена отражением точки x_* в B -ортогонале к любой лежащей на оси анизотропной точке. Беря в качестве таковой $a = (5, -8, 0)$, находим $(5, -8, 0) B = (-1, 2, 1)$. Обозначая через β скалярное произведение с матрицей Грама B , получаем

$$\beta(a, x_*) = (-1, 2, 1) \begin{pmatrix} 0 \\ 2 \\ 1 \end{pmatrix} = 5, \quad \beta(a, a) = (-1, 2, 1) \begin{pmatrix} 5 \\ -8 \\ 0 \end{pmatrix} = -21,$$

$$z_* = \sigma_a(x_*) \sim \beta(a, a) x_* - 2\beta(a, x_*) a = 21(0, 2, 1) + 10(5, -8, 0) = (50 : -38 : 21).$$

Таким образом, вершина параболы имеет аффинные координаты $(-19/25, 21/50)$.

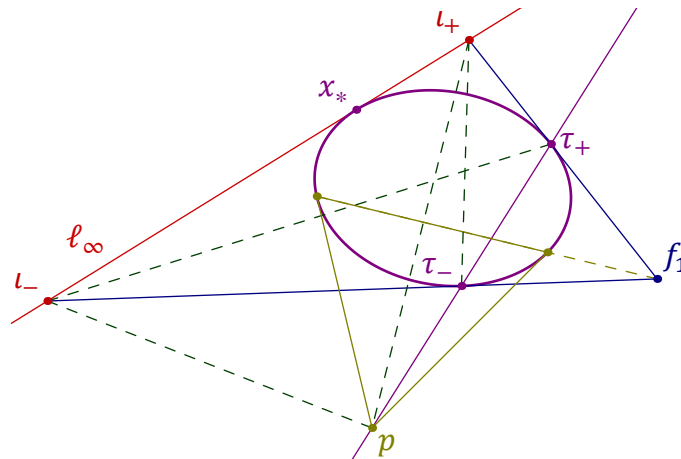


Рис. 20♦10. Директор параболы совпадает с её директрисой.

Пример 20.7 (ДИРЕКТОР ПАРАБОЛЫ СОВПАДАЕТ С ДИРЕКТРИСОЙ)

Гомография $\delta_P : l_+^x \rightleftharpoons l_-^x$, задаваемая сопряжением прямых параболой¹ P , перспективна, так как соединяющая центры пучков прямая ℓ_∞ самосопряжена. Поэтому ГМТ пересечения соответственных прямых этой гомографии распадается в объединение² прямой ℓ_∞ и прямой, соединяющей точки пересечений каких-нибудь двух пар соответственных прямых. Таковыми являются точки τ_+ и τ_- пересечения параболы с фокальными касательными, см. рис. 20♦10. Поэтому директриса параболы представляет собою ГМТ, из которых параболу видно под прямым углом³, т. е. директор параболы.

¹См. н° 20.3.1 на стр. 268.

²См. предл. 17.2 на стр. 228.

³Ибо такие точки как раз и являются точками пересечения сопряжённых относительно P прямых, проходящих через l_\pm , см. н° 20.3.1 на стр. 268.

Следствие 20.1

Касательные к параболе, проведённые через концы любой фокальной хорды, пересекаются на директрисе под прямым углом.

Доказательство. Поскольку полюс p любой фокальной хорды сопряжён фокусу параболы, он лежит на директрисе параболы, см. рис. 20◊10. \square

20.4.1. Софокусные параболы. Параболы называются *софокусными*, если у них один и тот же фокус f и параллельные оси¹. Семейство парабол, софокусных заданной параболе P , состоит из всех коник, вписанных в треугольник $f\iota_-\iota_+$ и касающихся его стороны $\ell_\infty = (\iota_-\iota_+)$ в фиксированной точке x_* . Двойственные им коники образуют в \mathbb{P}_2^\times пучок F с тремя базисными точками² — сторонами треугольника $f_1\iota_-\iota_+$. Он порождён двумя распавшимися кониками — объединением пучков $x_*^\times \cup f^\times$ с особой точкой, двойственной оси параболы, и объединением пучков $\iota_+^\times \cup \iota_-^\times$ с особой точкой ℓ_∞^\times , которая лежит на прямой x_*^\times и в которой все коники пучка касаются этой прямой. Так же как в н° 20.3.2 для любой точки $p \in \mathbb{P}_2$ пучок коник F задаёт инволюцию Дезарга на прямой p^\times в \mathbb{P}_2^\times . Она переставляет между собою касательные к софокусным параболом, в частности, прямые $(p\iota_-)$ и $(p\iota_+)$, а также прямые (px_*) и (pf) . Две неподвижные точки инволюции Дезарга суть касательные ℓ' и ℓ'' к софокусным параболом, проходящим через p см. рис. 20◊11.

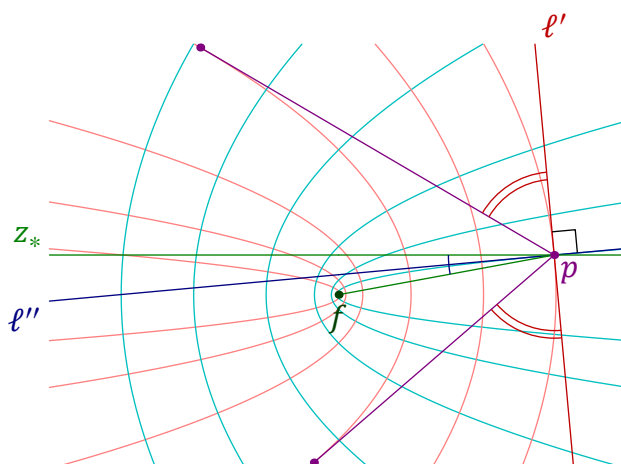


Рис. 20◊11. Софокусные параболы.

Дословно повторяя рассуждения из н° 20.3.2, мы заключаем, что через любую точку $p \in \mathbb{P}_2$ проходят ровно две софокусные параболы, причём они пересекаются в точке p под прямым углом, а касательные к ним в точке p прямые являются биссектрисами углов между прямой (pf) и проходящей через p прямой, параллельной оси параболы, а также углов между двумя касательными, опущенными из p на любую параболу из софокусного семейства.

Предложение 20.3

Для любой точки p угол между касательной, опущенной из p на параболу P , и прямой (pf) , ведущей из p в фокус параболы, равен углу между второй касательной и осью параболы. \square

¹Т. е. один и тот же «бесконечно удалённый фокус» x_* .

²См. рис. 19◊4 на стр. 254.

Предложение 20.4 (Фокальное свойство геометрической оптики)

Все отражённые параболой лучи от точечного источника в её фокусе идут параллельно оси параболы. \square

Пример 20.8

Если парабола P задаётся в стандартном ортонормальном базисе евклидовой плоскости \mathbb{R}^2 каноническим уравнением $y^2 = 2ax$, то двойственная ей коника $P^\times \subset \mathbb{P}_2^\times$ имеет однородное уравнение $2a^{-1}x_0x_1 - x_2^2 = 0$ и порождает вместе с задаваемой уравнением $x_1^2 + x_2^2 = 0$ распавшейся коникой $l_+^\times \cup l_-^\times$ пучок коник $(1 + \lambda)x_2^2 + 2a^{-1}x_0x_1 + \lambda x_1^2 = 0$ на \mathbb{P}_2^\times . Двойственные им софокусные с P параболы на \mathbb{P}_2 имеют однородные уравнения $(1 + \lambda)^{-1}y^2 - 2axz + \lambda z^2 = 0$ и аффинные уравнения $y^2 = (1 + \lambda)(2ax - \lambda)$.

20.4.2. Гипербола Аполлония. Дословно также, как в н° 20.3.3, для любой точки p парабола P задаёт гомографию $\alpha_p : x_*^\times \simeq p^\times$, переводящую прямую $\ell \ni x_*$ в опущенный из p перпендикуляр на сопряжённую к ℓ относительно параболы P прямую $\ell' \ni x_*$.

Упражнение 20.10. Убедитесь, что ГМТ $\ell \cap \alpha_p(\ell)$ представляет собою проходящую через точку p гиперболу с асимптотами, параллельными осям параболы и пересекающую параболу в точке $x_* \in \ell_\infty$.

Эта гипербола называется *гиперболой Аполлония* точки p относительно параболы P . Она пересекает параболу в таких точках a , что прямая (pa) перпендикулярна касательной T_aP . Поскольку одной из точек пересечения является бесконечно удалённая точка x_* , мы заключаем, что из произвольной точки в \mathbb{R}^2 на параболу можно опустить не более трёх перпендикуляров.

Ответы и указания к некоторым упражнениям

Упр. 20.1. Пусть $a, b \in \ell_\infty$ и диаметры (ca) , (cb) сопряжены. Тогда a и b сопряжены относительно C , т. е. поляра точки b проходит через a . Так как b лежит на поляре точки z_* , поляра точки b проходит через z_* и совпадает с диаметром (ca) . Поэтому любая проходящая через b прямая ℓ пересекает прямую (ca) по сопряжённой с b точке, которая по [предл. 18.1](#) на стр. 238 является серединой отрезка, отсекаемого коникой на прямой ℓ .

Упр. 20.2. Это вытекает из [сл. 19.2](#) на стр. 259, но без труда проверяется и прямым вычислением.

Упр. 20.3. На каждой пунктирной прямой есть ровно одна точка, составляющая вместе с y_* гармоническую пару к паре точек пересечения прямой с коникой. По [предл. 18.1](#) на стр. 238 эта точка лежит на поляре точки y_* , т. е. высекается из пунктирной прямой прямой $(f_1 f_2)$.

Упр. 20.4. Все четыре фокуса совпадают с центром, а все четыре директрисы — с бесконечно удалённой прямой.

Упр. 20.8. Поляра любой точки $w \in \ell_\infty$ проходит через полюс y_* прямой ℓ_∞ , т. е. параллельна оси параболы. Эта поляра пересекает любую прямую $\ell \ni w$ по такой точке u , что сопряжённые относительно P точки u, w гармоничны точкам пересечения $\ell \cap P$, т. е. u является серединой хорды $\ell \cap P$.

Упр. 20.9. Прямая $(f \iota_+)$, где $f = (1 : t : 0) = z_* + tx_* \in (z_* x_*)$, касается параболы если и только если матрица Грама векторов f, ι_+

$$\begin{pmatrix} 1 & t & 0 \\ 0 & i & 1 \end{pmatrix} \begin{pmatrix} 0 & a & 0 \\ a & 0 & 0 \\ 0 & 0 & -1 \end{pmatrix} \begin{pmatrix} 1 & 0 \\ t & i \\ 0 & 1 \end{pmatrix} = \begin{pmatrix} 2at & ia \\ ia & -1 \end{pmatrix}$$

вырождена, откуда $t = a/2$. Полярное преобразование переводит вектор $f = (1 : a/2 : 0)$ в прямую, однородное уравнение которой имеет коэффициенты

$$(1 : a/2 : 0) \begin{pmatrix} 0 & a & 0 \\ a & 0 & 0 \\ 0 & 0 & -1 \end{pmatrix} = (a^2/2 : a : 0) = (a/2 : 1 : 0).$$